

ГИДРАТЫ 2-ТИОБАРБИТУРАТОВ ЛАНТАНОИДОВ(III): СИНТЕЗ, СТРУКТУРА И ТЕРМИЧЕСКОЕ РАЗЛОЖЕНИЕ¹

© 2020 г. Н. Н. Головнев^{a, *}, М. С. Молокеев^{a, b, c}, М. К. Лесников^a, А. С. Самойло^a

^aСибирский федеральный университет, пр-т Свободный, 79, Красноярск, 660041 Россия

^bИнститут физики им. Л. В. Киренского, ФИЦ КНЦ СО РАН, Академгородок, 50, стр. 38, Красноярск, 660036 Россия

^cДальневосточный государственный университет путей сообщения, ул. Серышева, 47, Хабаровск, 680021 Россия

*e-mail: ngorovnev@sfu-kras.ru

Поступила в редакцию 24.12.2019 г.

После доработки 17.02.2020 г.

Принята к публикации 27.02.2020 г.

Кристаллизацией из водных растворов получены гидраты состава $\text{Ln}(\text{Htba})_3 \cdot 3\text{H}_2\text{O}$ ($\text{Ln} = \text{Yb}$ (I), Er (II), Ho (III); H_2tba = 2-тиобарбитуровая кислота), $\text{Ln}(\text{Htba})_3 \cdot 2\text{H}_2\text{O}$ и $\text{Ln}(\text{Htba})_3 \cdot 8\text{H}_2\text{O}$. По данным монокристального рентгеноструктурного анализа, моноклинные кристаллы изоструктурных соединений I–III имеют строение $[\text{Ln}_2(\text{H}_2\text{O})_6(\mu_2\text{-Htba-O,O'})_4(\text{Htba-O})_2]_n$. Образование изоструктурных соединений $\text{Ln}(\text{Htba})_3 \cdot 2\text{H}_2\text{O}$ ($\text{Ln} = \text{La}, \text{Ce}, \text{Eu}, \text{Yb}, \text{Lu}$), $\text{Ln}(\text{Htba})_3 \cdot 8\text{H}_2\text{O}$ ($\text{Ln} = \text{Eu}, \text{Tb}, \text{Ho}, \text{Yb}$) и $\text{Y}(\text{Htba})_3 \cdot n\text{H}_2\text{O}$ ($n = 2, 8$) подтверждено сравнением соответствующих порошковых рентгенограмм, а состав установлен методами элементного и термического анализа. Изучена устойчивость кристаллических гидратов при нагревании в воздушной атмосфере и в контакте с их насыщенными растворами.

Ключевые слова: лантаниды(III), тиобарбитураты, гидраты, строение, устойчивость

DOI: 10.31857/S0044457X20070090

ВВЕДЕНИЕ

Тиобарбитуровая кислота (H_2tba) как полифункциональный N,N',O,O',S -донорный лиганд с расходящимися центрами связывания (рис. 1) образует с ионами металлов координационные полимеры различного строения [1, 2]. Заслуживают внимания нейтральные однородные комплексы (НОК), содержащие только лиганды одного сорта и молекулы воды, так как в них нет противоионов, которые часто заполняют потенциально полезные каналы или полости в кристаллической решетке. С учетом различных способов координации ионов Htba^- и молекул H_2O (табл. S1) [3] при кристаллизации НОК из водной среды можно получить несколько соединений, содержащих разное число координированных молекул воды. Так, нами получены гидраты НОК тиобарбитуровой, барбитуровой (H_2ba) и 1,3-диэтил-2-тиобарбитуровой (HDetba) кислот с ионами *s*-, *p*- и *d*-металлов (табл. S1) [2, 3]. Представляет интерес изучить структурное и гидратное разнообразие соединений этого класса для практически значимых редкоземельных элементов (РЗЭ) [4–7]. Сведения о синтезе, строении и свойствах тиобарби-

туратных комплексов РЗЭ, которые могут обладать люминесцентными свойствами и служить прекурсорами для получения оксисульфатов [8] и оксидов [9], ограничены пятью изоструктурными соединениями состава $\text{Ln}(\text{Htba})_3 \cdot 3\text{H}_2\text{O}$ [9]. В настоящей работе получены гидраты состава $\text{Ln}(\text{Htba})_3 \cdot 3\text{H}_2\text{O}$, $\text{Ln}(\text{Htba})_3 \cdot 2\text{H}_2\text{O}$, $\text{Ln}(\text{Htba})_3 \cdot 8\text{H}_2\text{O}$ и $\text{Y}(\text{Htba})_3 \cdot n\text{H}_2\text{O}$ ($n = 2, 8$). Они исследованы методами порошковой рентгенографии и термического анализа. Структуры $\text{Ln}(\text{Htba})_3 \cdot 3\text{H}_2\text{O}$ ($\text{Ln} = \text{Yb}$ (I), Er (II), Ho (III)) определены методом РСА. Следует отметить, что для каждого НОК охарактеризовано только по одной кристаллической структуре [10].

ЭКСПЕРИМЕНТАЛЬНАЯ ЧАСТЬ

В синтезах использовали $\text{LuCl}_3 \cdot 6\text{H}_2\text{O}$, $\text{YbCl}_3 \cdot 6\text{H}_2\text{O}$, Er_2O_3 , Ho_2O_3 , $\text{YCl}_3 \cdot 6\text{H}_2\text{O}$, $\text{Eu}(\text{CH}_3\text{COO})_3 \cdot 4\text{H}_2\text{O}$, $\text{TbCl}_3 \cdot 6\text{H}_2\text{O}$, $\text{GdCl}_3 \cdot 6\text{H}_2\text{O}$, $\text{CeCl}_3 \cdot 7\text{H}_2\text{O}$, $\text{La}(\text{NO}_3)_3 \cdot 6\text{H}_2\text{O}$, H_2tba , HCl и NaOH (все марки “х. ч.”) без дополнительной очистки. Оксиды Er_2O_3 и Ho_2O_3 растворяли в концентрированной HCl , затем осторожно выпаривали до суха до хлоридных солей.

Синтез $\text{Ln}(\text{Htba})_3 \cdot 3\text{H}_2\text{O}$ ($\text{Ln} = \text{Yb}$ (I), Er (II), Ho (III)). Гидраты солей лантанидов (0.11 ммоль)

¹ Дополнительная информация для этой статьи доступна по doi 10.31857/S0044457X20070090 для авторизованных пользователей.

Таблица 1. Результаты элементного анализа синтезированных соединений

Сокращенная формула	Брутто-формула	Содержание элементов найдено/вычислено, мас. %			
		C	H	N	S
Yb(Htba) ₃ · 3H ₂ O	C ₁₂ H ₁₅ N ₆ O ₉ S ₃ Yb	22.42/21.95	2.17/2.30	13.04/12.80	14.90/14.65
Er(Htba) ₃ · 3H ₂ O	C ₁₂ H ₁₅ ErN ₆ O ₉ S ₃	22.29/22.15	2.12/2.32	13.20/12.91	15.01/14.78
Ho(Htba) ₃ · 3H ₂ O	C ₁₂ H ₁₅ HoN ₆ O ₉ S ₃	22.48/22.23	2.20/2.33	13.35/12.96	15.12/14.84
La(Htba) ₃ · 2H ₂ O	C ₁₂ H ₁₃ LaN ₆ O ₈ S ₃	23.53/23.85	1.90/2.17	13.78/13.90	15.43/15.92
Ce(Htba) ₃ · 2H ₂ O	C ₁₂ H ₁₃ CeN ₆ O ₈ S ₃	24.01/23.80	2.06/2.16	14.16/13.88	16.11/15.89
Eu(Htba) ₃ · 2H ₂ O	C ₁₂ H ₁₃ EuN ₆ O ₈ S ₃	22.94/23.34	2.30/2.12	13.39/13.61	15.42/15.58
Yb(Htba) ₃ · 2H ₂ O	C ₁₂ H ₁₃ N ₆ O ₈ S ₃ Yb	23.06/22.57	1.87/2.05	13.45/13.16	15.44/15.07
Lu(Htba) ₃ · 2H ₂ O	C ₁₂ H ₁₃ LuN ₆ O ₈ S ₃	22.22/22.51	2.01/2.05	12.76/13.12	14.63/15.02
Y(Htba) ₃ · 2H ₂ O	C ₁₂ H ₁₃ N ₆ O ₈ S ₃ Y	25.84/26.00	2.17/2.36	15.56/15.16	17.67/17.35
Eu(Htba) ₃ · 8H ₂ O	C ₁₂ H ₂₅ EuN ₆ O ₁₄ S ₃	20.15/19.87	3.30/3.47	11.69/11.58	13.56/13.26
Tb(Htba) ₃ · 8H ₂ O	C ₁₂ H ₂₅ N ₆ O ₁₄ S ₃ Tb	19.97/19.68	3.56/3.44	11.32/11.47	13.10/13.13
Ho(Htba) ₃ · 8H ₂ O	C ₁₂ H ₂₅ HoN ₆ O ₁₄ S ₃	19.32/19.52	3.63/3.41	11.16/11.38	12.74/13.03
Yb(Htba) ₃ · 8H ₂ O	C ₁₂ H ₂₅ N ₆ O ₁₄ S ₃ Yb	19.66/19.31	3.21/3.38	11.67/11.26	13.28/12.89
Y(Htba) ₃ · 8H ₂ O	C ₁₂ H ₂₅ N ₆ O ₁₄ S ₃ Y	22.33/21.76	3.57/3.80	12.89/12.67	14.76/14.52

растворяли в 10 мл воды и добавляли 0.05 г (0.35 ммоль) твердой H₂tba, затем смесь нейтрализовали 1 М раствором NaOH до pH 4. Образовавшиеся мелкокристаллические осадки, состоящие, по данным РФА, преимущественно из соответствующих октагидратов, растворяли при нагревании в большом избытке дистиллированной воды (200–300 мл) и оставляли испаряться в течение нескольких недель при комнатной температуре до образования пригодных для РСА кристаллов. Выход соединений I–III увеличивался по мере испарения воды и при объеме воды 100–150 мл составлял 20–30%. Результаты элементного анализа соединений I–III представлены в табл. 1.

Основным фактором, влияющим на состав синтезированных изоструктурных гидратов M(Htba)₃ · 2H₂O и M(Htba)₃ · 8H₂O (M = Ln, Y), является температура. Как правило, при взаимодействии соли РЗЭ с нейтрализованным NaOH раствором H₂tba (pH 4–5) при комнатной темпе-

ратуре образуются бесцветные октагидраты M(Htba)₃ · 8H₂O, а при 90°C – бледно-желтые дигидраты M(Htba)₃ · 2H₂O. В общем виде методики их получения представлены ниже.

Синтез M(Htba)₃ · 2H₂O (M = La, Ce, Eu, Yb, Lu, Y). К 0.20 г (1.4 ммоль) H₂tba в 5 мл воды добавляли 0.056 г (1.4 ммоль) NaOH, затем смесь выдерживали при 90°C в течение 5 мин до полного растворения тиобарбитуревой кислоты. К горячему желто-оранжевому раствору при перемешивании добавляли 1 мл водного раствора, содержащего 0.46 ммоль соли M(III). Образовавшийся вначале белый объемный осадок (M(Htba)₃ · 8H₂O) становился более компактным и окрашивался в желтый цвет. Его отфильтровывали, промывали 2 мл ацетона и сушили на воздухе до постоянной массы. Выход соединений составил 40–50%. Результаты их элементного анализа согласуются с предложенным составом (табл. 1).

Синтез M(Htba)₃ · 8H₂O (M = Eu, Tb, Ho, Yb, Y). Методики синтеза этих изоструктурных соединений отличались от предыдущей тем, что синтез проводили при комнатной температуре и для более быстрого растворения 2-тиобарбитуревой кислоты использовали небольшой избыток NaOH (1.6 ммоль). Выход соединений составил 50–60%. Их состав подтвержден данными химического анализа (табл. 1).

РСА. Исследованы желтые кристаллы I (Ln = Yb) размером 0.3 × 0.3 × 0.2 мм, II (Ln = Er) размером 0.35 × 0.35 × 0.3 мм и III (Ln = Ho) размером 0.3 × 0.2 × 0.2 мм при 296 К. Интенсивности отраже-

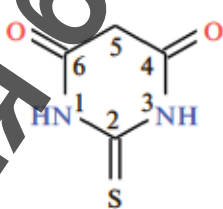


Рис. 1. Графическая формула молекулы 2-тиобарбитуровой кислоты (H₂tba).

Таблица 2. Параметры эксперимента и результаты уточнения структур I–III

Параметр	Значение		
Кристалл	I	II	III
Брутто-формула	$C_{24}H_{30}N_{12}O_{18}S_6Yb_2$	$C_{24}H_{30}Er_2N_{12}O_{18}S_6$	$C_{24}H_{30}Ho_2N_{12}O_{18}S_6$
M	1313.04	1301.48	1296.82
Пр. гр., Z	$P2/n$, 2	$P2/n$, 2	$P2/n$, 2
a , Å	13.9302 (4)	13.9848 (6)	13.9917 (9)
b , Å	9.9688 (3)	10.0106 (4)	10.0182 (7)
c , Å	15.4215 (5)	15.4161 (6)	15.3907 (10)
β , град	109.4421 (7)	109.541 (1)	109.6202 (16)
V , Å ³	2019.43 (11)	2033.89 (14)	2032.1 (2)
$\rho_{\text{выч.}}$, г/см ³	2.159	2.125	2.119
μ , мм ⁻¹	5.002	4.495	4.262
Всего отражений	29917	44856	20957
$2\theta_{\text{max}}$, град	61.938	78.088	53.004
Независимых отражений N_1 (R_{int})	6426 (0.0638)	11253 (0.0410)	4205 (0.0989)
Число отражений с $F > 4\sigma(F)$, N_2	5006	9307	2964
Диапазон индексов h , k , l	$-20 \leq h \leq 20$, $-14 \leq k \leq 14$, $-22 \leq l \leq 22$	$-24 \leq h \leq 24$, $-17 \leq k \leq 17$, $-26 \leq l \leq 26$	$-17 \leq h \leq 17$, $-12 \leq k \leq 12$, $-19 \leq l \leq 19$
Весовая схема по F^2	$w = 1/[\sigma^2(F_o^2) + (0.0167P)^2 + 5.348P]$	$w = 1/[\sigma^2(F_o^2) + (0.0162P)^2 + 2.9638P]$ $P = \max(F_o^2 + 2F_c^2)/3$	$w = 1/[\sigma^2(F_o^2) + (0.0205P)^2 + 8.8779P]$
Число уточняемых параметров	299	299	299
R (по N_1 рефлексам)	0.0502	0.0506	0.0732
R (по N_2 рефлексам)	0.0318	0.0368	0.0394
$wR(F^2)$ (по N_1 рефлексам)	0.0741	0.0654	0.0903
$wR(F^2)$ (по N_2 рефлексам)	0.0625	0.0618	0.0732
GOOF	1.068	1.011	1.033
Коэффициент экстинкции		Не уточнялся	
$(\Delta/\sigma)_{\text{max}}$	<0.001	<0.001	<0.001
$\Delta\rho_{\text{max}}/\Delta\rho_{\text{min}}$, е/Å ³	1.580/-2.535	1.196/-2.980	1.598/-1.308

ний измерены на монокристальном дифрактометре SMART APEX II с CCD-детектором (Bruker AXS, MoK_{α} -излучение). Экспериментальные поправки на поглощение введены с помощью программы SADABS [11] методом мультисканирования. Модель структуры установлена прямыми методами и уточнена с помощью комплекса программ SHEXL [12]. Из разностных синтезов электронной плотности определены положения атомов водорода, которые затем были идеализированы и уточнены в связанной с основными атомами форме. В табл. 2 приведены параметры экспериментов и результаты уточнения структур.

Структуры I–III депонированы в Кембриджском банке структурных данных (№ 1971780–1971782; deposit@ccdc.cam.ac.uk или http://www.ccdc.cam.ac.uk/data_request/cif).

Порошковые рентгенограммы соединений отсняты при комнатной температуре на дифрактометре D8 Advance фирмы Bruker с использованием линейного детектора Vantec и CuK_{α} -излучения. Для подтверждения фазовой чистоты порошков комплексов I–III использовали параметры ячеек из монокристального эксперимента, для подгон-

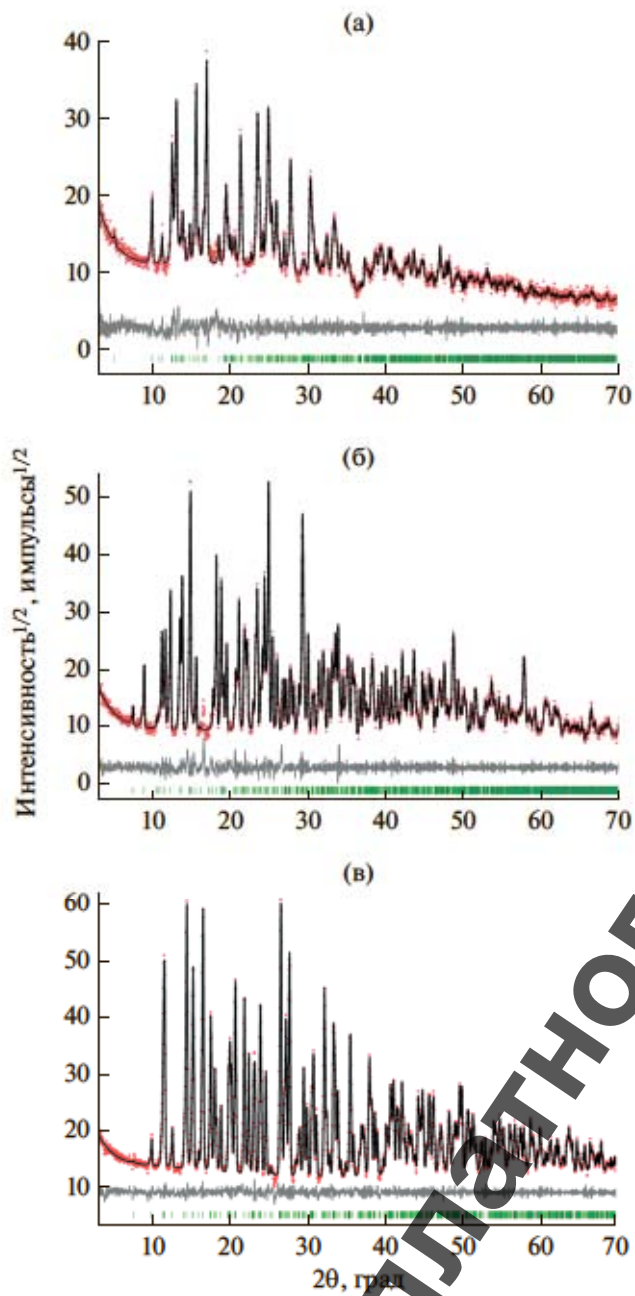


Рис. 2. Экспериментальные, теоретические и разностные рентгенограммы кристаллов: а – $\text{Y}(\text{Htba})_3 \cdot 8\text{H}_2\text{O}$; б – $\text{Ho}(\text{Htba})_3 \cdot 3\text{H}_2\text{O}$; в – $\text{Yb}(\text{Htba})_3 \cdot 2\text{H}_2\text{O}$.

ки профиля уточнения параметров ячеек – метод Ле Бэйла при помощи программы TOPAS 4.2 [13]. Уточнение шло стабильно и дало хорошие разностные рентгенограммы (рис. 2).

Термический анализ соединений проводили на приборе SDT-Q600 (TA Instruments, USA) в токе воздуха (50 мл/мин) в интервале 22–850°C при скорости нагревания 10 град/мин. Состав газообразных продуктов определяли с помощью совме-

щенного с термическим анализатором ИК-спектрометра Nicolet380 (Thermo Scientific, USA).

РЕЗУЛЬТАТЫ И ОБСУЖДЕНИЕ

Образование трех групп гидратов состава $\text{M}(\text{Htba})_3 \cdot 8\text{H}_2\text{O}$, $\text{M}(\text{Htba})_3 \cdot 3\text{H}_2\text{O}$ и $\text{M}(\text{Htba})_3 \cdot 2\text{H}_2\text{O}$ согласуется с результатами химического и термического анализа. Изоструктурность гидратов одного химического состава подтверждается совпадением соответствующих рентгенограмм порошков и вычисленных кристаллографических параметров (табл. 2–4). Для сравнения нарис. 2 приведены экспериментальные рентгенограммы трех гидратов тиобарбитуратов РЗЭ разного состава, которые существенно отличаются друг от друга.

В первую очередь при комнатной температуре из водного раствора кристаллизуются белые объемные гидраты $\text{M}(\text{Htba})_3 \cdot 8\text{H}_2\text{O}$, которые в течение 1–3 мес при комнатной температуре превращаются в $\text{M}(\text{Htba})_3 \cdot 3\text{H}_2\text{O}$. При 90°C $\text{M}(\text{Htba})_3 \cdot 8\text{H}_2\text{O}$, как правило, переходят в более компактные желтые мелкокристаллические осадки $\text{M}(\text{Htba})_3 \cdot 2\text{H}_2\text{O}$. Такие превращения согласуются с эмпирическим правилом, согласно которому при более высокой температуре кристаллизуются соединения, содержащие меньшее число молекул воды. Все наши попытки получить эти комплексы в виде кристаллов, пригодных для монокристального РСА, оказались безуспешными. При контакте кристаллов $\text{M}(\text{Htba})_3 \cdot 2\text{H}_2\text{O}$ с маточным раствором в течение 1–3 мес при комнатной температуре они частично переходили в более термодинамически устойчивые в водном растворе гидраты $\text{M}(\text{Htba})_3 \cdot 3\text{H}_2\text{O}$.

В независимой части ячеек изоструктурных комплексов $\text{Ln}(\text{Htba})_3 \cdot 3\text{H}_2\text{O}$ ($\text{Ln} = \text{Yb}, \text{Er}, \text{Ho}$) содержатся два иона Ln^{3+} , три иона Htba^- и три молекулы воды в общих позициях. Координация ионов Htba^- к ионам Ln^{3+} осуществляется только через атомы O. Один из ионов Ln^{3+} связан с шестью ионами Htba^- (двумя терминальными и четырьмя мостиковыми) и двумя молекулами воды, другой – с четырьмя мостиковыми ионами Htba^- и четырьмя молекулами воды (рис. 3). Полиэдры $\text{Ln}(1)\text{O}_8$ и $\text{Ln}(2)\text{O}_8$ – квадратные антипризмы, связанные друг с другом мостиковыми ионами Htba^- с формированием бесконечного слоя в плоскости, перпендикулярной направлению $a + c$ (рис. S1). С учетом разного координационного окружения двух независимых ионов Ln^{3+} и наличия в структуре как μ_2 -мостикового, так и концевого лиганда Htba^- строение рассматриваемых комплексов лучше передается формулой $[\text{Ln}_2(\text{H}_2\text{O})_6(\text{Htba}-\text{O}, \text{O}')_4(\text{Htba}-\text{O})_2]_n$ (рис. 3) или просто $\text{Ln}_2(\text{H}_2\text{O})_6(\text{Htba})_6$. Они изоструктурны ранее охарактеризованному соединению $\text{Eu}_2(\text{Htba})_6(\text{H}_2\text{O})_6$

Таблица 3. Кристаллографические параметры $\text{Ln}(\text{Htba})_3 \cdot 8\text{H}_2\text{O}$ (пр. гр. $P\bar{I}$)

Металл	$a, \text{\AA}$	$b, \text{\AA}$	$c, \text{\AA}$	$\alpha, \beta, \gamma, \text{град}$	$V, \text{\AA}^3$
Eu	7.794(1)	9.169(1)	18.448(2)	97.25(1), 91.72(1), 112.18(1)	1206.8(2)
Tb	7.789(3)	9.152(4)	18.458(7)	97.14(2), 91.76(2), 112.15(3)	1205.0(8)
No	7.769(1)	9.128(1)	18.434(2)	97.07(1), 91.78(1), 112.21(2)	1169.9(3)
Yb	7.781(1)	9.152(1)	18.458(2)	97.14(1), 91.76(1), 112.15(2)	1204.0(2)
Y	7.764(3)	9.120(4)	18.411(8)	97.08(2), 91.69(2), 112.27(3)	1193.1(9)

[8], $\text{Sm}_2(\text{Htba})_6(\text{H}_2\text{O})_6$, $\text{Ln}_2(\text{Htba})_6(\text{H}_2\text{O})_6$ ($\text{Ln} = \text{Tb}, \text{Gd}, \text{Nd}$) [9]. Длины связей $\text{Ln}-\text{O}$ (табл. S2) в соединениях I–III (2.263(3)–2.406(3) Å) имеют типичные значения [10] и закономерно увеличиваются от соединения I к III. В структуре представлены три независимых иона Htba^- , один концевой (C) и два мостиковых (A и B). Их соответствующие геометрические параметры удовлетворительно согласуются с литературными данными [11–19] и практически совпадают для соединений I–III, например, длины связей C–O 1.250(8)–1.274(8) Å, C(4)–C(5) и C(5)–C(6) 1.382(10)–1.402(6) Å, C–S 1.664(4)–1.697(7) Å.

Анализ структуры показал наличие в I–III двенадцати водородных связей (ВС) N–H···O, N–H···S, O–H···O и O–H···S (табл. S3), в которых участвуют все ионы Htba^- и все молекулы воды. ВС образуют трехмерный каркас, в котором можно выделить супрамолекулярные мотивы $R_2^2(8)$, $S(6)$, $R_2^2(28)$ и $R_4^4(26)$ [20], как и в других изоструктурных тиобарбитуратах Ln(III) [8, 9]. π – π -Взаимодействия [21] между ионами Htba^- (табл. S4) типа “голова-к-хвосту” дополнительно стабилизируют структуру соединений.

В начале термического разложения всех синтезированных гидратов происходит их полная дегидратация, что подтверждается результатами ИК-спектроскопического анализа газообразных продуктов. Нам не удалось идентифицировать методом РФА кристаллические фазы, образующиеся при полном обезвоживании синтезированных веществ. Состав промежуточных и конечных продуктов термолиза в работе не изучали. Дегидратация $\text{Y}(\text{Htba})_3 \cdot 8\text{H}_2\text{O}$ протекает в две стадии: первая начинается при $\sim 80^\circ\text{C}$, а вторая – при $\sim 100^\circ\text{C}$ (рис. 4а). Они сопровождаются эндотермическими эффектами при 85 и 129°C соответственно. Потеря массы веществом ($\Delta m_{\text{эксп}}$) при $\sim 200^\circ\text{C}$ близка к теоретически вычисленной ($\Delta m_{\text{выч}}$) в предположении полной дегидратации ($\Delta m_{\text{эксп}} = -20.9\%$, $\Delta m_{\text{выч}} = 21.7\%$, $-8\text{H}_2\text{O}$). При $t > 370^\circ\text{C}$ происходит окислительное разложение образца, которому соответствуют два экзотермических эффекта на кривой ДСК при 422 и 598°C . По результатам ИК-спектроскопического анализа газооб-

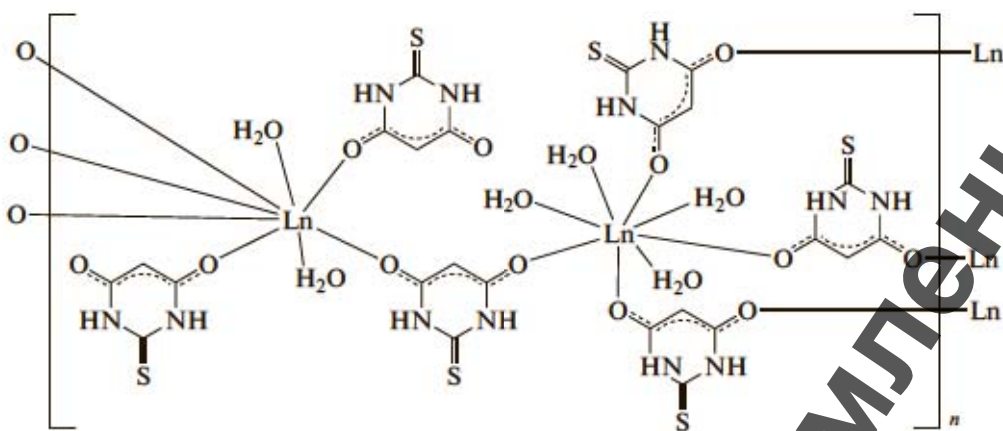
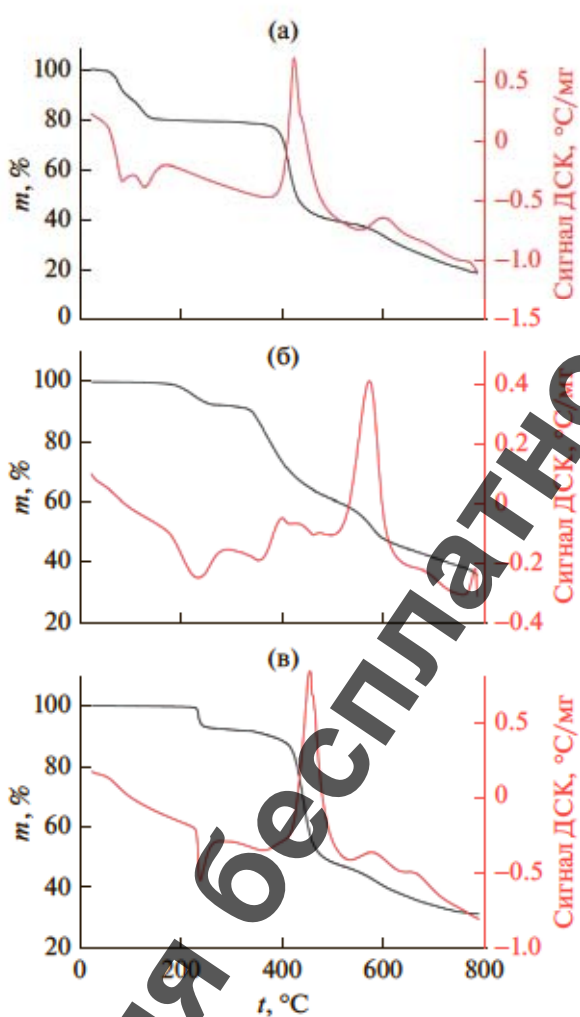
разных продуктов, ниже 370°C единственным газообразным продуктом является вода, а среди продуктов термолиза в интервале 380 – 800°C обнаружены CO_2 , CS_2 и NH_3 .

Как следует из рис. 4б, дегидратация $\text{Ho}(\text{Htba})_3 \cdot 3\text{H}_2\text{O}$ (III) начинается при 180°C и заканчивается при 270 – 280°C . Экспериментальная потеря массы вещества близка к вычисленной в предположении удаления всех молекул H_2O ($\Delta m_{\text{эксп}} = 7.91\%$, $\Delta m_{\text{выч}} = 8.33\%$, $-3\text{H}_2\text{O}$). Дегидратация сопровождается эндотермическим эффектом при 244°C . При $t > 320^\circ\text{C}$ происходит окислительное разложение образца, которому на кривой ДСК соответствует экзотермический эффект при 570°C . Ниже 320°C единственным газообразным продуктом является вода, а среди продуктов термолиза в интервале 380 – 800°C обнаружены CS_2 , NH_3 , SO_2 и CO_2 .

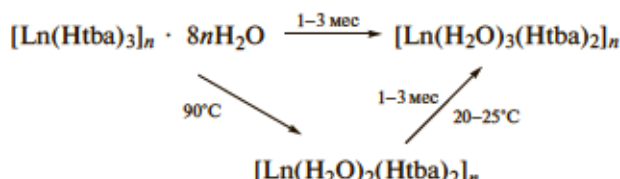
Дегидратация $\text{Yb}(\text{Htba})_3 \cdot 2\text{H}_2\text{O}$ начинается при 230°C и практически заканчивается при 300°C (рис. 4в). Ей соответствует эндотермический эффект при 237°C . Потеря массы при 250°C больше теоретически вычисленной в предположении полной дегидратации соединения ($\Delta m_{\text{эксп}} = 6.48\%$, $\Delta m_{\text{выч}} = 5.64\%$, $-2\text{H}_2\text{O}$). Наблюдаемое различие связано, по-видимому, с гигроскопичностью вещества. При $t > 370^\circ\text{C}$ происходит окисление органического лиганда, которому на кривой ДСК соответствует сильный экзотермический эффект при 451°C . При $t < 370^\circ\text{C}$ единственным газообразным продуктом является вода, а среди продуктов термолиза в интервале 380 – 800°C обнаружены CS_2 , NH_3 , SO_2 и CO_2 .

Таблица 4. Кристаллографические параметры $\text{Ln}(\text{Htba})_3 \cdot 2\text{H}_2\text{O}$ (пр. гр. $P2_12_12_1$)

Металл	$a, \text{\AA}$	$b, \text{\AA}$	$c, \text{\AA}$	$V, \text{\AA}^3$
La	6.813(1)	15.064(1)	18.326(2)	1880.9(2)
Ce	6.813(2)	15.025(2)	18.253(2)	1868.9(3)
Eu	6.742(1)	15.418(2)	18.125(2)	1883.9(3)
Yb	6.709(1)	15.325(2)	17.884(2)	1838.8(3)
Lu	6.711(1)	15.338(1)	17.882(1)	1840.7(1)
Y	6.721(1)	15.378(1)	17.982(1)	1858.5(2)

Рис. 3. Строение комплексов $[\text{Ln}_2(\text{H}_2\text{O})_6(\text{HTBA}-\text{O},\text{O}')_4(\text{HTBA}-\text{O})_2]_n$.Рис. 4. Кривые ТГ и ДСК при окислительной деградации соединений: а – $\text{Y}(\text{Htba})_3 \cdot 8\text{H}_2\text{O}$; б – $\text{Ho}(\text{Htba})_3 \cdot 3\text{H}_2\text{O}$, в – $\text{Yb}(\text{Htba})_3 \cdot 2\text{H}_2\text{O}$.

Удаление всех молекул воды из соединения $\text{Y}(\text{Htba})_3 \cdot 8\text{H}_2\text{O}$ уже при $t < 150^\circ\text{C}$ позволяет их отнести к кристаллизационным. В отличие от них, молекулы воды в $\text{Ho}(\text{Htba})_3 \cdot 3\text{H}_2\text{O}$ и $\text{Yb}(\text{Htba})_3 \cdot 2\text{H}_2\text{O}$, скорее всего, являются координированными, так как их дегидратация начинается при более высоких температурах по сравнению с $\text{Y}(\text{Htba})_3 \cdot 8\text{H}_2\text{O}$. Как “жесткие” кислоты ионы Ln^{3+} не склонны образовывать связи с лигандами через атом серы, что косвенно подтверждает кристаллизация их немногочисленных комплексов с S-координированными лигандами только из неполярных растворителей [4]. Поэтому при рассмотрении возможной структуры гидратов $\text{Ln}(\text{Htba})_3 \cdot 2\text{H}_2\text{O}$ и $\text{Ln}(\text{Htba})_3 \cdot 8\text{H}_2\text{O}$ можно принимать во внимание только связи $\text{Ln}-\text{O}_{\text{Htba}}$ и $\text{Ln}-\text{O}_w$. Поскольку обычно $\text{KЧ}(\text{Ln(III)}) \geq 8$, а ионы Htba^- не образуют O,O'-координированные хелаты [1, 2, 10], $\text{Yb}(\text{Htba})_3 \cdot 2\text{H}_2\text{O}$ и изоструктурные ему гидраты являются координационными полимерами. Учитывая сравнительно низкую температуру полной дегидратации, характерную для некоординированных молекул воды, можно также предположить полимерное строение $\text{Y}(\text{Htba})_3 \cdot 8\text{H}_2\text{O}$ и изоструктурных ему комплексов. Тогда с учетом ранее отмеченной наибольшей термодинамической устойчивости в растворе кристаллов $\text{M}(\text{Htba})_3 \cdot 3\text{H}_2\text{O}$ взаимные превращения полимерных гидратов Ln(III) в их насыщенных водных растворах можно представить схемой:



ЗАКЛЮЧЕНИЕ

Кристаллизацией из водного раствора в различных условиях получены три типа гидратов тиобарбитуратных комплексов РЗЭ $M(Htba)_3 \cdot nH_2O$ ($n = 2, 3, 8$), различающихся кристаллическим строением и термической устойчивостью в процессах дегидратации. Окислительное разложение координированных лигандов $Htba^-$ начинается при более высокой температуре, чем свободной H_2tba , которая плавится с разложением уже при $\sim 250^\circ C$ [22].

Как уже отмечалось, гидраты различного состава и строения получены ранее для нейтральных однородных комплексов, образованных H_2tba и $HDetba$ с s -, p - и d -металлами (табл. S1) [3]. Существование нескольких гидратов наряду с возможностью образования полифункциональными лигандами связевых изомеров делает богатой координационную химию комплексов металлов с барбитуровыми кислотами [2]. Выделение дигидратов, тригидратов и октагидратов 2-тиобарбитуратов РЗЭ является примером проявления структурного и гидратного разнообразия соединений этого класса.

ФИНАНСИРОВАНИЕ РАБОТЫ

Исследование выполнено при финансовой поддержке РФФИ в рамках научного проекта № 19-52-80003. Рентгенографические данные получены с использованием оборудования Красноярского регионального центра коллективного пользования ФИЦ КНЦ СО РАН.

КОНФЛИКТ ИНТЕРЕСОВ

Авторы заявляют, что у них нет конфликта интересов.

ДОПОЛНИТЕЛЬНЫЕ МАТЕРИАЛЫ

Таблица S1. Гидраты барбитуратных комплексов металлов [3].

Таблица S2. Основные длины связей (Å) и углы (град) в соединениях I–III.

Таблица S3. Геометрические параметры водородных связей в структурах I–III.

Таблица S4. Параметры π - π -взаимодействий $Htba^-$ в кристаллах I–III.

Рис. S1. Строение слоя перпендикулярного направлению $a + c$. Циклический фрагмент структуры выделен широкой линией.

СПИСОК ЛИТЕРАТУРЫ

1. Mahmudov K.T., Kopylovich M.N., Maharramov A.M. et al. // Coord. Chem. Rev. 2014. V. 265. P. 1. <https://doi.org/10.1016/j.ccr.2014.01.002>
2. Головнев Н.Н., Молохеев М.С. 2-Тиобарбитуровая кислота и ее комплексы с металлами: синтез, структура и свойства. Красноярск: Сиб. федер. ун-т, 2014. 252 с.
3. Головнев Н.Н., Молохеев М.С., Лесников М.К. // Журн. Сибирского федерального университета. Химия. 2017. № 10. С. 401. <https://doi.org/10.17516/1998-2826-0036>
4. Cotton S. Lanthanide and Actinide Chemistry. UK, Uppingham, Rutland: Wiley, 2006. 263 p.
5. Heffern M.C., Matosziuk L.M., Meade T.J. // Chem. Rev. 2014. V. 114. P. 4496. <https://doi.org/10.1021/cr400477t>
6. Yang Y., Zhao Q., Feng W., Li F. // Chem. Rev. 2013. V. 113. P. 192. <https://doi.org/10.1021/cr2004103>
7. Binnemann K. // Chem. Rev. 2009. V. 109. P. 4283. <https://doi.org/10.1021/cr8003983>
8. Головнев Н.Н., Молохеев М.С. // Коорд. химия. 2014. Т. 40. № 9. С. 564. [Golovnev N.N., Molokeev M.S. // Russ. J. Coord. Chem. 2014. V. 40. № 9. P. 648.] <https://doi.org/10.1134/S1070328414090036>
9. Головнев Н.Н., Молохеев М.С., Стерхова И.В. // Журн. неорган. химии. 2019. Т. 64. № 9. С. 965. <https://doi.org/10.1134/S0044457X19090137>
10. Cambridge Structural Database, Version 5.37. Cambridge, UK: Univ. of Cambridge, 2015.
11. Sheldrick G.M. SADABS. Version 2.01. Madison (WI, USA): Bruker AXS Inc., 2004.
12. Sheldrick G.M. SHELXTL. Version 6.10. Madison (WI, USA): Bruker AXS Inc., 2004.
13. Bruker AXS TOPAS V4: General Profile and Structure Analysis Software for Powder Diffraction Data. User's Manual, Bruker AXS, Karlsruhe, 2008.
14. Balas V.I., Verginadis I.I., Geromichalos G.D. et al. // Eur. J. Med. Chem. 2011. V. 46. № 7. P. 2835. <https://doi.org/10.5517/ccv3tc3>
15. Kubicki M., Owczarzak A., Balas V.I., Hadjikakou S.K. // J. Coord. Chem. 2012. V. 65. P. 1107. <https://doi.org/10.1080/00958972.2012.660148>
16. Gong Y., Hao Z., Li J. et al. // Dalton Trans. 2013. V. 42. P. 6489. <https://doi.org/10.1039/C3DT32380C>
17. Hützler W.M., Egert E., Bolte M. // Acta Crystallogr. C. 2016. V. 72. P. 705. <https://doi.org/10.1107/S205322961601336X>
18. Gomathi S., Nirmalram J.S., Muthiah P.T. // Acta Crystallogr. B. 2015. V. 71. P. 144. <https://doi.org/10.1107/S2052520615001729>
19. Wang C., Zhou M.-S., Yang L.-J. et al. // Jiegou Huaxue. 2017. V. 36. P. 1210. <https://doi.org/10.14102/j.cnki.0254-5861.2011-1494>
20. Стид Дж.В., Этвуд Дж.Л. Супрамолекулярная химия. М.: Академкнига, 2007. 480 с.
21. PLATON – A Multipurpose Crystallographic Tool. Utrecht University, Utrecht, The Netherlands. 2008.
22. Roux M.V., Notario R., Segura M., Chickos J.S. // J. Chem. Eng. Data. 2011. V. 57. P. 249. <https://doi.org/10.1021/je200420u>